

クノイド波に関する研究

京都大学防災研究所 正員 工博 岩垣雄一
京都大学大学院 学生員 細見昌彦

1 緒言 1895年 Korteweg-de Vries により発見されたクノイド波は、数学的取扱いに Jacobi の incomplete elliptic integral やその導数たる第1種および第2種の完全な円積分式および正の値を含むため、そのままの形では波の特性を把握することは難かしく、われわれ技術者にとってあまり直感的でない。そこで通常の波の計算と同様、この研究では波高、水深および周期を与えて、クノイド波の諸特性を求めることができるようクノイド波の理論の結果にもとづいて図表を作成し、Stokes波および微小振幅波との比較を試み、さらに波形、波速および波長について若干の実験を行なった。なおクノイド波の理論としては擾動法によって求めた Laitone の理論解を用いた。

2 Laitone によるクノイド波の理論解: いま η を波の谷からの水深、 h を平均水深、 ζ を波の谷から水面までの距離、 s を波の谷から平均水面までの距離、波高を H 、波速を C 、波長を λ 、圧力を p とし、 x 軸は波の谷を通って水平方向、 y 軸は鉛直上向きとし、それらの連坐成分をそれぞれ u および w とすると、第2近似解は次式のようになります。

$$\begin{aligned} \frac{\eta_2}{h_c} &= \frac{H}{h_c} \operatorname{cn}^2(2K \frac{x-ct}{\zeta}, k) - \frac{3}{4} \left(\frac{H}{h_c}\right)^2 \operatorname{cn}^2(2K \frac{x-ct}{\zeta}, k) \{1 - \operatorname{cn}^2(2K \frac{x-ct}{\zeta}, k)\} \quad (1) \quad \frac{C_2}{\sqrt{ghc}} = 1 + \frac{H}{h_c k^2} \left(\frac{1}{2} - \frac{E}{K}\right) \\ &+ \left(\frac{H}{h_c}\right)^2 \left\{ \frac{E}{K} \left(\frac{E}{K} + \frac{3}{4} k^2 - 1\right) - \left(\frac{k^2 + 14k^2 - 9}{40}\right) \right\} \quad (2) \quad \frac{p_2}{H} = \frac{H}{h_c} \frac{1}{k^2} \left\{ \frac{E}{K} + k^2 - 1 \right\} + \left(\frac{H}{h_c}\right)^2 \frac{1}{2k^4} \left\{ \frac{E}{K} + 14k^2 + 3k^4 - (8 - 7k^2) \times \frac{E}{K} \right\} \quad (3) \\ \frac{p_2}{\sqrt{ghc}} &= \frac{\eta_2 - E}{h_c} - \left(\frac{H}{h_c}\right)^2 \left\{ \frac{E}{K} + \frac{3}{4} k^2 \right\} \{1 - k^2 + 2(2k^2 - 1) \operatorname{cn}^2(2K \frac{x-ct}{\zeta}, k) - 3k^2 \operatorname{cn}^4(2K \frac{x-ct}{\zeta}, k)\} \quad (4) \\ \frac{u_2}{\sqrt{ghc}} &= 1 + \frac{H}{h_c} \frac{1}{k^2} \left(\frac{1}{2} - \frac{E}{K}\right) + \left(\frac{H}{h_c}\right)^2 \left\{ \frac{E}{K} \left(\frac{E}{K} + \frac{3}{4} k^2 - 1\right) - \left(\frac{k^2 + 14k^2 - 9}{40}\right) \right\} - [1 + (-\frac{1}{2k^2}) \frac{H}{h_c} - (\frac{21k^4 - 6k^2 - 9}{40k^4})(\frac{H}{h_c})^2 - \frac{H}{h_c} \{1 - \frac{H}{h_c} (\frac{2k^2 - 2}{4k^2}) - \frac{3}{2} \frac{H}{h_c} (2 - \frac{1}{k^2}) (\frac{2}{h_c} + \frac{3}{h_c^2})\} - (\frac{H}{h_c})^2 \{ \frac{5}{4} + \frac{9}{4} (\frac{2}{h_c} + \frac{3}{h_c^2}) \}] + \frac{3}{2} \left(\frac{H}{h_c}\right)^2 \left(\frac{1}{k^2} - 1\right) (\frac{2}{h_c} + \frac{3}{h_c^2}) \quad (5) \\ \frac{w_2}{\sqrt{ghc}} &= - \left[\left(1 + \frac{H}{h_c}\right) \left\{ \frac{3}{2} \left(\frac{H}{h_c}\right) \right\}^{1/2} \operatorname{cn}(2K \frac{x-ct}{\zeta}, k) \operatorname{sn}(2K \frac{x-ct}{\zeta}, k) \operatorname{dn}(2K \frac{x-ct}{\zeta}, k) \times \left(1 - \frac{H}{h_c} (\frac{14k^2 + 2}{8k^2}) - \frac{H}{h_c} (-\frac{1}{2k^2}) \times (\frac{2}{h_c} + \frac{3}{h_c^2}) - \frac{1}{2} \frac{H}{h_c} (1 - 6 \frac{2}{h_c} - 3 \frac{2}{h_c^2}) \right) \right] \quad (6) \end{aligned}$$

= 1, so fix 1 が + 2 は式をやがて第2近似をあらわす。

3 波形および波速に関する実験: 実験は幅50cm、深さ65cm、長さ63mの鉄製水槽の一端にピストン式造波機とフィルターを取りつけ、一定の距離はなした二つの波高計を用いて、波が二つから波高計の間を進むに要する時間と水位記録から読みとり波速を算出した。また波長の測定方法としては、二つの波高計のうちの一つを固定し、他の一つを水路に沿って1cmずつ前後に移動させ、相隣れる波の峰の位置がちょうど二つの波高計間の距離に一致する点を水位記録から求め、このときの二つの波高計間の距離をもって波長とした。図-1は(1)式から求めたクノイド波の第2近似の波形と実験値との比較の一例を示す。なお二の図では横軸に3mのかわりに時間と周期との比 t/H がとられており、比較のために Stokes 波および微小振幅波の波形をも与えてある。実験値はクノイド波の第2近似値とよく一致している。とくに、二の図には Stokes 波 (Skjelbreia の 3rd order のもの) の収束性が悪いことがあらわされている。(図-2は波速に関する実験値と各波動理論による理論値との比較を示すものである。 $t/H > 3$ の範囲では Stokes 波理論とクノイド波理論との差はむろん大きいが、実験誤差の範囲に含まれ小明確などとは言えないが、 $2 < t/H < 3$ の範囲では

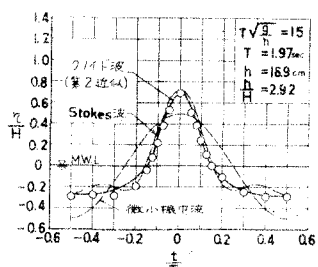


図-1 波形の比較

実験値は 7/14D 波理論によく一致していることが分かる。また図-3 は、図-2 と同様を比較を波長に換して行なったものである。実験値と理論値の関係は波速の場合とよく似ている。これは $L = CT$ の関係からいって当然であるといえる。図-4 は同じ実験条件の場合について波の谷から平均水面上までの距離 ζ と波高 H との比 ζ/H の比較を行なったものである。実験値のうちで理論値との差異が大きいものは、波形が波の谷の部分で乱れていたことを意味しており、この傾向は図-2 や図-3 における実験値のバラツキの傾向とほぼ似がよっているように思われる。一方同図には Stokes 波に対する理論曲線が与えられており、これは $T\sqrt{h}$ の値が大きくなり、多くの値が小さくなっている Stokes 波の収束性が悪くなり、波の谷の部分でもう一つの大きな峯があり、波の谷を定義することができ無意味となるのである。

4 壓力に関する理論値の比較： 図-5 は海底における圧力について第 2 近似の圧力と Stokes 波理論および微小振幅波理論によるものとの比較を示す。ここで $D = 0.05$, $\eta_0 = 0.01$ の場合について示したものである。一方縦軸には海底における圧力から平均水深に対する静水压を引いたもの即ち圧力変動 ΔP_0 がとてある。微小振幅波理論による曲線は他の理論曲線と明確にはまかれていないが、それ以外の理論曲線はほぼ等しく、とくに波の谷の部分ではよく一致している。しかし Stokes 波は波形の場合と同様に、波の谷の部分でもう一つの山をもち収束性が悪いことを示している。

5 流速に関する理論値の比較： 式(5)および式(6)から計算したひおおよび w_1 に対する各理論値の比較を $\eta_0 = 0.05$, $\eta_L = 0.01$, $Z = -\frac{H}{2} + \delta_Z$ の場合に対して行なったのが図-6 および図-7 である。どちらの図においても Stokes 波理論の曲線は波の谷にあたり部分での収束性が悪いことがわかる。また 7/14D 波の第 1 近似と第 2 近似を比較した場合、両者の差は w_1 の方がよりはるかに大きいことは興味深いことである。

6 波速に関する各種理論の適用範囲の考察： 図-8 は波速 C を \sqrt{gh} で割った値 $\frac{C}{\sqrt{gh}}$ を縦軸に、 $T\sqrt{h}$ を横軸にとった、 $\zeta/H = 2.0$ の場合について各種理論の比較を行なったものである。Stokes 波理論は $T\sqrt{h} > 20$ の場合は収束性が悪く波速 C の値が除々に減少はじめている。一方、 7/14D 波理論は $T\sqrt{h} = 5$ のところまで、波速は極めて高い。図-8 は波速に関する各種理論値の比較であるが、これ以下の範囲は適用範囲外であることを示している。したがって図-2 を参考すれば $T\sqrt{h} > 5$ の領域についての各種理論の適用性の検討をさらに実験によって確かめる必要がある。

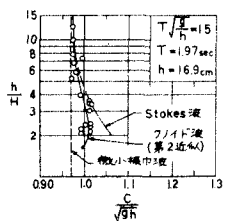


図-2 波速の比較

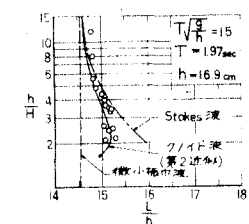


図-3 波長の比較

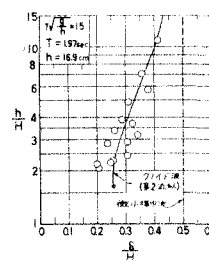


図-4 ζ/H の比較

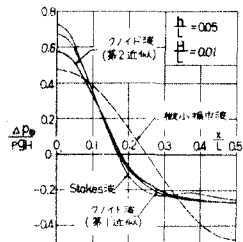


図-5 圧力の比較

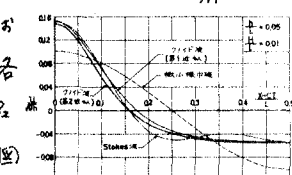


図-6 流速 w_1 の比較

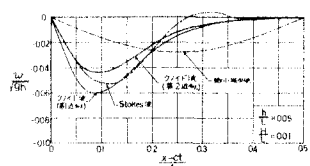


図-7 流速 C の比較

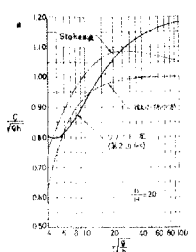


図-8 波速に関する各種理論値の比較